

[1.3]

Механика твердого тела

ТЕПЛОПЕРЕДАЧА В ЛАМИНАРНОМ ПОГРАНИЧНОМ СЛОЕ НА ТЕЛЕ ВРАЩЕНИЯ

М. Е. Швейцер

(Ленинград)

Настоящая заметка посвящена приближенному расчету теплопередачи в ламинарном пограничном слое на теле вращения с тупой передней частью.

Пусть U' — скорость невозмущенного потока, направленная вдоль оси симметрии тела вращения, x' и y' — координаты, отсчитываемые соответственно вдоль обвода меридионального сечения тела и по нормали к обводу, $r = r_0(x')$ — расстояние от точек обвода сечения до оси вращения тела, u' и v' — проекции скорости соответственно на оси x' и y' , ν — кинематическая вязкость, k — коэффициент температуропроводности; тогда приближенные уравнения установившегося движения, неразрывности и притока тепла будут иметь вид:

$$\begin{aligned} u' \frac{\partial u'}{\partial x'} + v' \frac{\partial u'}{\partial y'} - U' \frac{\partial U'}{\partial x'} &= \nu \frac{\partial^2 u'}{\partial y'^2} \\ \frac{\partial u'}{\partial x'} + \frac{\partial v'}{\partial y'} + \frac{u'}{r_0} \frac{\partial r_0}{\partial x'} &= 0, \quad u' \frac{\partial T}{\partial x'} + v' \frac{\partial T}{\partial y'} = k \frac{\partial^2 T}{\partial y'^2} \end{aligned} \quad (1)$$

Введем безразмерные величины по формулам

$$u' = U_0 u, \quad U' = U_0 U, \quad y' = \frac{l}{VR} y, \quad x' = \frac{l}{VR} x, \quad \vartheta = \frac{T - T_1}{T_0 - T_1}$$

где U_0 — характерная скорость, l — характерный размер, R — число Рейнольдса, $T_1(x)$ — температура обтекаемой поверхности и $T_0 = \text{const}$ — температура на бесконечности. Тогда, исключая нормальную составляющую скорости v , приходим к следующим безразмерным уравнениям ($P = \nu / k$):

$$\begin{aligned} u \frac{\partial u}{\partial x} - \frac{\partial u}{\partial y} \int_0^y \frac{\partial u}{\partial x} dy - \frac{\partial u}{\partial y} \frac{d \ln r_0}{dx} \int_0^y u dy - U \frac{du}{dx} &= \frac{\partial^2 u}{\partial y^2} \\ u \frac{\partial \vartheta}{\partial x} - \frac{\partial \vartheta}{\partial y} \int_0^y \frac{\partial u}{\partial x} dy - \frac{\partial \vartheta}{\partial y} \frac{d \ln r_0}{dx} \int_0^y u dy + u(\vartheta - 1) \frac{d \ln (T_1 - T_0)}{dx} &= \frac{1}{P} \frac{\partial^2 \vartheta}{\partial y^2} \end{aligned} \quad (2)$$

Границные условия для u и ϑ будут

$$u = 0, \quad \vartheta = 0 \text{ при } y = 0$$

$$u = U, \quad \vartheta = 1 \text{ при } y = \infty$$

Будем решать уравнения (2) методом последовательных приближений (см. [1]), введя в рассмотрение толщину скоростного пограничного слоя δ , толщину температурного пограничного слоя δ_* и записывая условия на бесконечности как условия при δ_* и δ .

Нулевые приближения для ϑ и u , получающиеся в результате приравнивания левых частей уравнений (2) нулю, имеют следующий вид:

$$u = U\xi, \quad \vartheta = \eta \quad \left(\xi = \frac{y}{\delta}, \quad \eta = \frac{y}{\delta_*} \right)$$

Подставляя найденные значения u и ϑ в левые части уравнений (2), находим следующее приближение, ограничиваясь которым, имеем

$$\begin{aligned} \frac{u}{U} &= \xi + \frac{\delta^2 U}{2} \left[\frac{1}{12} (\xi^4 - \xi) \frac{d}{dx} \ln \frac{U}{\delta r_0} - (\xi^2 - \xi) \frac{d \ln U}{dx} \right] \\ \vartheta &= \eta - \frac{U \delta_*^3 P r}{2\delta} \left[\frac{\eta^4 - \eta}{12} \frac{d}{dx} \ln \frac{\delta_*^2 U r_0}{\delta (T_1 - T_0)^2} + \frac{\eta^3 - \eta}{3} \frac{d}{dx} \ln (T_1 - T_0) \right] \end{aligned} \quad (3)$$

Из условий

$$\left(\frac{\partial u}{\partial \xi} \right)_{\xi=1} = \left(\frac{\partial \vartheta}{\partial \eta} \right)_{\eta=1} = 0$$

для определения δ и δ_* получаем линейные уравнения

$$\begin{aligned} \frac{d}{dx} \delta^2 + \delta^2 \frac{\partial}{\partial x} [\ln U^6 r_0^2] &= \frac{16}{U} \\ \frac{d}{dx} \delta_*^3 + \delta_*^3 \frac{\partial}{\partial x} \ln \left[\left(\frac{U r_0}{\delta} \right)^{3/2} (T_1 - T_0) \right] &= \frac{12 \delta}{U P r} \end{aligned} \quad (4)$$

Если считать, что $\delta(0) = \delta_*(0) = 0$, то решение этих уравнений будут

$$\delta^2 = 16 U^{-6} r_0^{-2} \int_0^x U^5 r_0^2 dx \quad (5)$$

$$\delta_*^3 = \frac{12}{P r} \left(\frac{\delta}{U r_0} \right)^{3/2} \frac{1}{T_1 - T_0} \int_0^x (T_1 - T_0) r_0 \sqrt{\frac{U r_0}{\delta}} dx \quad (6)$$

Скорость теплоотдачи, приходящейся на единицу поверхности в точке x , равна:

$$\left(\frac{\partial \vartheta}{\partial y} \right)_0 = \frac{1}{\delta_*} \left(\frac{\partial \vartheta}{\partial \eta} \right)_0 = \frac{1}{\delta_*} \left[\frac{4}{3} + \frac{U \delta_*^3 P r}{18 \delta} \frac{d}{dx} \ln (T_1 - T_0) \right] \quad (7)$$

Полученные результаты справедливы, строго говоря, при условии, что $\delta_* < \delta$ причем они будут тем точнее, чем меньше толщина температурного пограничного слоя по сравнению с толщиной скоростного слоя.

Чтобы получить формулы для плоского случая, следует только всюду положить величину $r_0 = \text{const}$.

В виде примера рассмотрим случай, в котором

$$U = x^m, \quad T_1 = T_0 + B x^\beta$$

где m , B , β — постоянные (плоская задача).

Согласно (5) имеем для толщины скоростного пограничного слоя

$$\delta = \alpha x^{\frac{1}{2}(1-m)}, \quad \alpha = \frac{4}{V \sqrt{1+5m}}$$

Согласно (6) для толщины температурного пограничного слоя имеем

$$\delta_* = \sqrt[3]{\frac{48\alpha}{Pr [3(m+1) + 4\beta]}} x^{\frac{1}{2}(1-m)} \quad (8)$$

Согласно (7) для скорости теплоотдачи получим

$$\left(\frac{\partial \vartheta}{\partial y}\right)_0 = \frac{3}{2} \left[1 + \frac{2\beta Pr}{[3(m+1)+4\beta]} \right] \sqrt[3]{\frac{3(m+1)+4\beta}{6\alpha} Pr} x^{\frac{1}{2}(m-1)} \quad (9)$$

Этот случай рассмотрели Фэдж и Фокнер^[2]. Они численно проинтегрировали уравнение для ϑ при некоторых значениях m и β и $P = 0.77$ (воздух).

Таблица 1

m	β	$x^{(1-m)/2}$	
		$(\partial \vartheta / \partial y)_0$ по формуле (8)	по Фэджу и Фокнеру
0	0.5	0.421	0.425
	0.4	0.397	0.406
	0.3	0.377	0.386
	0.2	0.356	0.363
	0.0	0.305	0.310
	1.0	0.524	0.521

Полученные ими значения для скорости теплоотдачи приведены в табл. 1; здесь же для сравнения даны значения $(\partial \vartheta / \partial y)_0$, рассчитанные по формуле (8).

Можно предполагать, что значения, полученные Фэджем и Фокнером, являются несколько завышенными.

Так, для плоской пластины при постоянной температуре ($m = \beta = 0$) по их методу получается

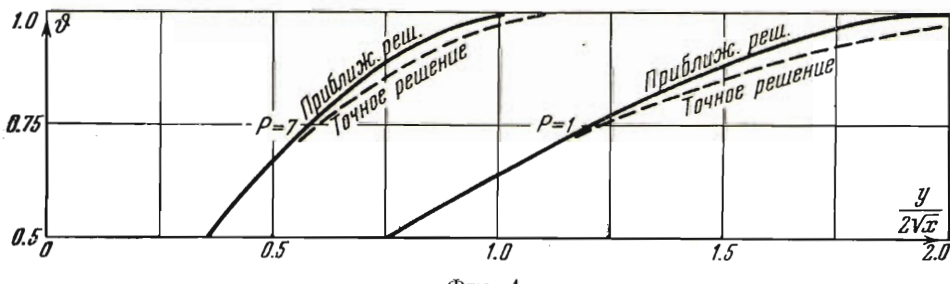
$$\left(\frac{\partial \vartheta}{\partial y}\right)_0 \sqrt{x} = 0.310$$

вместо точного значения 0.303.

Для плоской пластинки согласно (3) и (5) имеем

$$\vartheta = \frac{4}{3} \eta - \frac{1}{3} \eta^4 \quad \left(\eta = \frac{y}{\delta_*}, \quad \delta_* = \frac{4}{P^{1/3}} \sqrt{x} \right) \quad (9)$$

На фиг. 1 приводятся графики распределения температуры над плоской пластиной, вычисленные по формуле (9) для некоторых значений чисел P ; здесь же для



Фиг. 1

сравнения даны графики ϑ , полученные из известного точного решения^[3].

Поступила в редакцию
1 VII 1949

ЛИТЕРАТУРА

- Швец М. Е. О приближенном решении некоторых задач гидродинамики пограничного слоя. ПММ. 1949. Т. XIII. Вып. 3.
- Fage A., Falkner V. ARC Reports and Memoranda. 1931. No. 1408.
- Pohlhausen. ZAMM. 1921. Nr. 1.